

MB 88-30

GEOCHIMIE DU TILL (HORIZON C) - REGION DE SAINT-ADALBERT -

Documents complémentaires

Additional Files



Licence



Licence

Cette première page a été ajoutée
au document et ne fait pas partie du
rapport tel que soumis par les auteurs.

Énergie et Ressources
naturelles

Québec 



Gouvernement du Québec
Ministère de l'Énergie et des Ressources
Service de la géochimie et de la géophysique

SÉRIE DES MANUSCRITS BRUTS

Géochimie du till (horizon C) - Région de Saint-Adalbert -

Pierre LaSalle
Jocelyn Henry

Ce document est une reproduction fidèle du manuscrit tel que soumis par l'auteur sauf pour une mise en page sommaire destinée à assurer une qualité convenable de reproduction

Le présent projet est financé par le ministère de l'Énergie, des Mines et des Ressources du Canada et le ministère de l'Énergie et des Ressources du Québec dans le cadre de l'entente auxiliaire Canada - Québec sur le développement minéral.

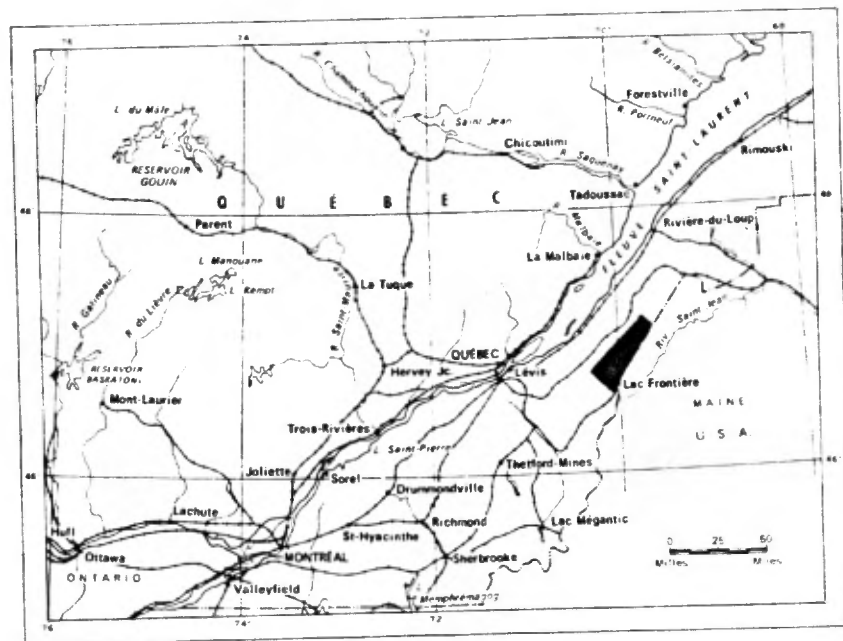


FIGURE 1: Localisation de la région échantillonnée.

RÉGION DU SAINT-ADALBERT

Géochimie du till

La région de Saint-Adalbert est située au sud-est de la ville de Québec et est incluse dans le périmètre suivant:

- Latitude de N: 46°35'00" 47°05'00"
- Longitude de W: 69°35'00" 70°20'00"

But du travail: évaluation du potentiel aurifère de la région étudiée.

Géologie de la roche de fond

Dans la région de St-Adalbert, on retrouve différents assemblages de roches appalachiennes principalement:

- des metabasaites
- des grès, ardoises et slates
- des volcanoclastites felsiques

Vers le sud-ouest, mais en dehors de la région, on retrouve des intrusions dioritiques et gabbroïques.

Géologie glaciaire

Toute la région où les échantillons ont été prélevés a été couverte par la glaciation continentale. Le till est donc généralement présent partout sauf sur le sommet des collines. Son épaisseur peut atteindre 5 à 6 m par endroit et il est souvent oxydé sur toute son épaisseur.

Les stries glaciaires indiquent généralement un écoulement vers le sud-est; toutefois des marques d'érosion glaciaire (crag-and-tail) formées pendant le tardi-glaciaire sont observées par

endroit. Elles indiquent un écoulement glaciaire vers le nord et le nord-est. Cependant, il n'y a pas d'évidence de remobilisation et de transfert appréciables de matériaux glaciaires pendant cet épisode tardi-glaciaire. Pour les fins de la prospection, il ne faut donc considérer que le transport glaciaire vers le sud-est. Les résultats sont présentés sur des cartes à l'échelle de 1/125 000 et les statistiques pour les différents éléments apparaissent au tableau 1.

MÉTHODOLOGIE

Tous les échantillons ont été prélevés à l'aide d'une pelle mécanique montée sur un tracteur de ferme. La profondeur maximum atteinte avec ce genre d'équipement est d'environ 5 à 6 m. Un échantillon d'environ 10 kg a été prélevé, de préférence dans du matériel non oxydé, quand c'était possible. Lorsque le till était oxydé sur toute son épaisseur, le matériel oxydé a été prélevé. L'échantillon a ensuite été séché au four et tamisé. La fraction dont la granulométrie est inférieure à 177 microns a été soumise à l'analyse par émission au plasma.

Les résultats sont présentés sur des cartes à l'échelle de 1/125 000 et les statistiques pour ces différents éléments apparaissent au tableau 1.

CONCLUSION

Il semble bien qu'aucune anomalie aurifère d'importance n'ait été décelée. Une anomalie de Cu, qui se retrouve pour d'autres éléments métalliques, avait déjà été décelée lors d'un échantillonnage sommaire de reconnaissance.

TABLEAU 1: Principaux paramètres statistiques de base.

ÉLÉMENT ET UNITÉ	MINIMUM	MAXIMUM	MOYENNE	ECART-TYPE	NOMBRE D'ÉCHAN- TILLONS
Ag (ppm)	0,4	1,7	0,42	0,08	456
Al (pct)	0,36	2,44	1,39	0,31	456
As (ppm)	0,5	156,8	8,0	10,30	456
Au (ppb)	5,0	16,0	5,2	1,0	456
B (ppm)	4,0	7,0	4,1	0,3	456
Ba (ppm)	16,0	179,0	83,8	30,0	456
Ca (pct)	0,02	26,0	0,21	1,21	456
Cd (ppm)	0,2	2,4	0,22	0,16	456
Ce (ppm)	8,0	126,0	27,9	10,5	456
Co (ppm)	3,0	46,0	10,1	4,1	456
Cr (ppm)	5,0	67,0	21,3	7,8	456
Cu (ppm)	5,0	133,0	22,2	10,9	456
Eu (ppm)	0,2	2,8	0,71	0,24	456
Fe (pct)	0,72	7,4	2,19	0,56	456
Hg (ppb)	10,0	210,0	46,4	21,3	456
K (pct)	0,04	0,61	0,31	0,12	456
La (ppm)	3,0	33,0	3,6	3,7	456
Li (ppm)	4,0	36,0	14,0	4,9	456
Mg (pct)	0,23	1,71	0,60	0,17	456
Mn (ppm)	123,0	2287,0	463,4	202,2	456
Na (pct)	0,03	0,21	0,06	0,02	456
Ni (ppm)	8,0	138,0	31,9	14,8	456
P (ppm)	144,0	1587,0	462,0	123,6	456
Pb (ppm)	2,0	55,0	13,4	6,5	456
Pf (pct)	2,0	14,0	2,9	1,7	456
Sb (ppm)	0,1	5,9	0,56	0,34	456
Sc (ppm)	1,0	11,0	3,1	0,9	456
Sm (ppm)	1,0	21,0	3,8	1,4	456
Sr (ppm)	3,0	347,0	16,9	28,6	456
Th (ppm)	3,0	26,0	6,5	2,0	456
Ti (pct)	0,01	0,07	0,02	0,01	456
U (ppm)	0,1	2,7	0,47	0,25	456
V (ppm)	5,0	20,0	12,8	2,7	456
W (ppm)	1,0	5,0	1,3	0,6	456
Y (ppm)	3,0	40,0	9,3	3,4	456
Zn (ppm)	19,0	114,0	54,6	12,3	456